# Síntese e caracterização de óxido de zinco dopado com ferro(III) em meio de ágar-ágar para aplicação em fotocatálise heterogênea.

Thiago Orcelli (PG)\*, Vanildo Souza Leão Neto (IC), Keiko Takashima (PQ).

Departamento de Química - CCE - Universidade Estadual de Londrina - Londrina/PR - \*orcelli@yahoo.com.br.

Palavras Chave: fotocatálise, síntese, caracterização, óxido de zinco, óxido misto, ágar-ágar, azocorante.

### Introdução

Os processos de oxidação avançados têm sido utilizados nas últimas décadas como alternativas para descontaminação de ar, água e solo. Destes, a fotocatálise heterogênea tem sido amplamente investigada através do uso de semicondutores do tipo-n como TiO<sub>2</sub>, ZnO, etc. Diversas rotas tem sido desenvolvidas para sintetizar semicondutores puros e/ou mistos para aumentar a eficiência do processo de degradação. Dentro deste contexto, pesquisas têm sido desenvolvidas para produção de óxidos mistos constituídos por semicondutores do tipo n e p.¹ A síntese, a caracterização e a fotocatálise do diazocorante direct red 23 (DR23) por ZnO puro e dopado com óxido de ferro, semicondutor do tipo-p, em meio de ágar-ágar ² é relatado neste trabalho.

# Resultados e Discussão

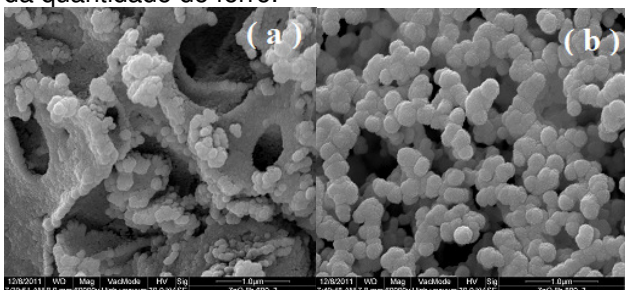
Adicionou-se 10,0 g de ágar-ágar (San Marú) em 150 mL de água ultra pura. Esta mistura foi agitada para homogeneização a 60ºC por 30 min. Em outro béquer 22,5 g de nitrato de zinco (Synth) em 50 mL de água foram agitadas por 30 min a temperatura ambiente. A 80 °C, sob agitação, estas soluções foram misturadas até formação de gel de cor marrom. Em seguida, este material foi calcinado a 600 e 800ºC por 8 h. Procedimento similar foi repetido na síntese do óxido misto respectivamente com 1, 3 e 5% de ferro(III) ( $Fe(NO_3)_3.9H_2O$ , Synth). 150 mL de diazocorante DR23 (7,5x10<sup>-5</sup>mol L<sup>-1</sup>) foram adsorvidos no escuro nos óxidos preparados por 60 min a 30 °C em reator de vidro borosilicato. A seguir, a suspensão foi irradiada (lâmpada de Hg sem bulbo, 2320 μ W cm<sup>-2</sup>) por 4 h a 30°C. Os espectros UV-Vis das alíquotas removidas em função do tempo foram registrados (Ocean Optics USB4000) para calcular a constante de velocidade de descoloração, *k*<sub>obs</sub>, de DR23.

A partir dos difratogramas de raios-X, o óxido misto calcinado a 800  $^{\circ}$ C é mais cristalino, pois apresentou os picos correspondentes ao FeO em 20 = 29,96; 35,32 e 42,81 $^{\circ}$ , enquanto a 600 $^{\circ}$ C, houve alargamento dos picos de ZnO e formação da zincita.

As imagens de microscopia eletrônica de varredura, MEV (Figura 1) mostraram que houve formação de nanopartículas de ZnO a  $800^{\circ}$ C, mas a  $k_{obs}$  de DR23 mediada por óxido misto contendo 5%

de Fe foi de  $2.74 \times 10^{-3}$  min<sup>-1</sup>. Por outro lado, os óxidos calcinados a  $600^{\circ}$ C resultaram em  $k_{obs}$  (Tabela 1) maiores que o ZnO sintetizado ( $4.71 \times 10^{-3}$  min<sup>-1</sup>) e o comercial (Nuclear,  $3.72 \times 10^{-3}$  min<sup>-1</sup>). Este resultado indica que a heterojunção n e p deva ocorrer nesta temperatura, diminuindo assim, a recombinação do par elétron-buraco. O aumento da temperatura pode ter resultado na segregação de fases, transformando este material mais cristalino.

As  $k_{obs}$  obtidas para DR23 mostraram que tanto o ZnO puro quanto os óxidos mistos sintetizados, descoloriram com maior eficiência o azocorante em comparação ao ZnO comercial. Neste estudo a descoloração mostrou dependência da quantidade de ferro.



**Figura 1.** MEV (60000x) de ZnO puro: (a) 600°C; (b) 800°C.

**Tabela 1.**  $k_{obs}$ , de DR23 (7,5x10<sup>-5</sup> mol L<sup>-1</sup>) irradiada a 30 °C na presença dos óxidos sintetizados a 600 °C (0,3 g L<sup>-1</sup>).

Fotocatalisador		<i>k<sub>obs</sub></i> /10 <sup>-3</sup> min <sup>-1</sup>	r
% Zn	% Fe		
100	0	4,71	0,966
99	1	5,07	0,973
97	3	5,76	0,996
95	5	6,22	0,986

#### Conclusões

De acordo com estes resultados, a eficiência fotocatalítica está relacionada à inserção de ferro na estrutura de ZnO na presença de ágar-ágar.

## **Agradecimentos**

CAPES/DS, Pró-PPG/UEL.

<sup>&</sup>lt;sup>1</sup> Kang, H. S.; Ahn, B. D.; Kim J. H.; Kim, G. H.; Lim, S. H.; Chang, H. W. e Lee, S. Y. App. Phys. Letters. 2006, 88, 202-108.

<sup>&</sup>lt;sup>2</sup> Zak, A.K.; Majid, W.H.; Darroudi, M. e Yousefi, R.. Mat. Letters. 2011, 65, 70-73.